

ISS/JEM/ExHAM 利用テーマ:QCC 熱解析関連情報

左近 樹

2014 年 11 月 19 日

1 構造概要

実験供試体 EE64-I および EE64-II は、「各 64 個の試料」「試料ホルダー」「試料ホルダマウント台」「リン青銅板バネ」「ねじ」から構成される。

1.1 試料

64 個の試料のうち、28 個は単結晶 Si ウェハ (昭島硝子) より作成した 10mm ϕ 厚さ 1mm の Si 基板上に各種試料を堆積させた形態、20 個は同サイズの合成石英基板 (株式会社ジャパンセル: 合成石英両面研磨板) 上に各種試料を堆積させた形態をとる。それ以外の試料は、グラファイト、無煙炭、メソフェーズカーボン、ポリエチレン、ポリスチレン、結晶質シリケート、非晶質シリケートなど、試料本体が 10mm ϕ 厚み 1mm に加工されたものである。おり、このため、リン青銅板バネとアルミ製試料ホルダー間では、ねじ止め箇所 25 カ所で熱接触をとる。試料と試料ホルダーのうち、温度に比較的弱いサンプル (ポリエチレン、ポリスチレン等) に対しては、よりよい熱接触をとることを目的として、試料底にインジウムを挟む。

1.2 試料ホルダー

A5052 材のアルミを利用し、表面は白アルマイト加工を施工。試料ホルダーには、10mm ϕ 厚さ 1 mm の試料の試料を入れるための深さ 0.8mm の試料スロット、10mm ϕ 厚さ 1mm の試料下にインジウムを挟んで入れる為の深さ 1.5mm の試料スロット、10mm ϕ 厚さ 1mm の試料を 2 枚重ねている為の深さ 1.8mm の試料スロットが用意される。いずれも、試料インストール時に、試料の飛び出し量が 0.2mm 程度になるように、上記の深さが決定されている。

1.3 試料ホルダーマウント台

A5052 材のアルミを利用し、表面は白アルマイト加工を施工。試料ホルダーマウント台と試料ホルダーは M2.5 のチタンねじ 16 個を用いて固定する。

1.4 リン青銅板バネ

C5191P 材、厚さ 0.1mm のリン青銅の板バネを利用。各試料対応位置に 9mm ϕ の穴があけられており、10mm ϕ の試料の外周を板バネで抑える形で試料を試料ホルダーに固定する役割を担う。リン青銅板バネは、試料スロット 2 個 \times 2 個を 1 ユニットとしてユニットの四角がねじ止め位置に該当させ、M2 のチタンねじ 25 個を用いて、リン青銅板バネを試料ホルダー面に留める構造をとる。

1.5 ねじ

チタン製のねじ (M2;25 本, M2.5;16 本) を使用する。(市販品: 株式会社ウィルコ、製品番号 TIA-0205 など。)

2 外形形状/寸法

必要な場合、板厚および内部構造も含めた寸法も提供する。

2.1 試料ホルダー

各実験供試体の試料ホルダーには、10mm φ厚さ 1 mm の試料を入れるための深さ 0.8mm の試料スロット、10mm φ厚さ 1mm の試料下にインジウムを挟んで入れる為の深さ 1.5mm の試料スロット、10mm φ厚さ 1mm の試料を 2 枚重ねて入れる為の深さ 1.8mm の試料スロットが用意される。試料の飛び出し量は 0.2mm として設計してある。

試料ホルダー (EE64-I)

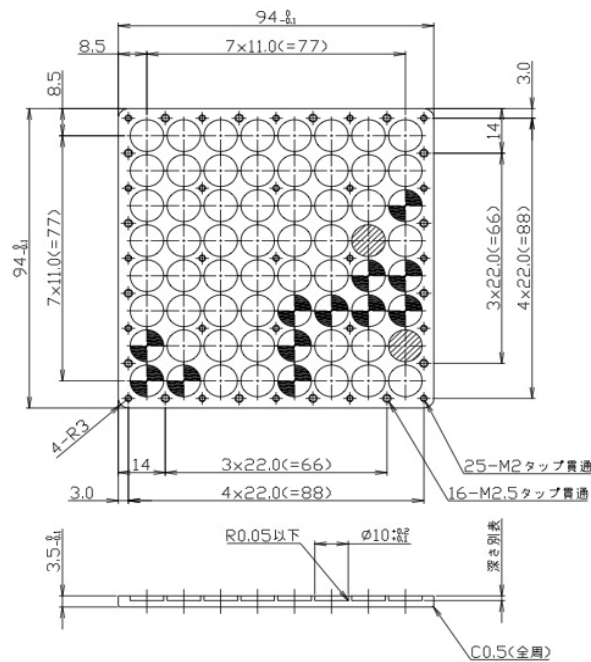


表1) ザグリ深さ

図示記号	ザグリ深さ	穴数
○	0.8±0.1	50ヶ所
◐	1.5±0.1	12ヶ所
◑	1.8±0.1	2ヶ所

試料ホルダー (EE64-II)

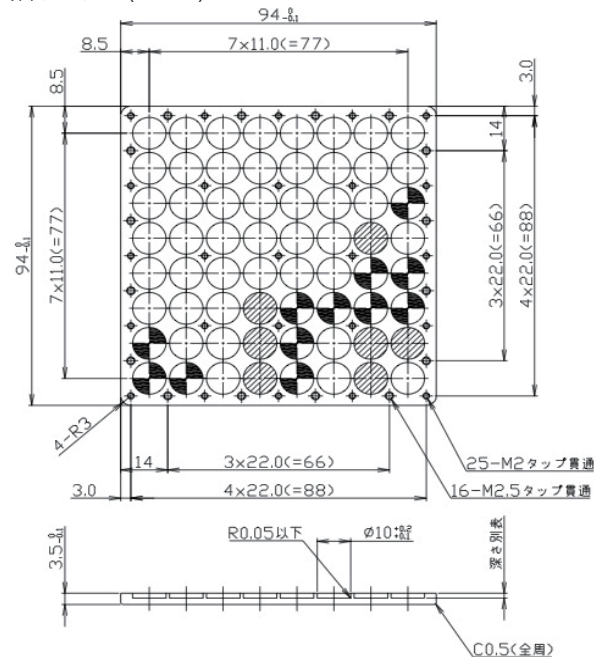
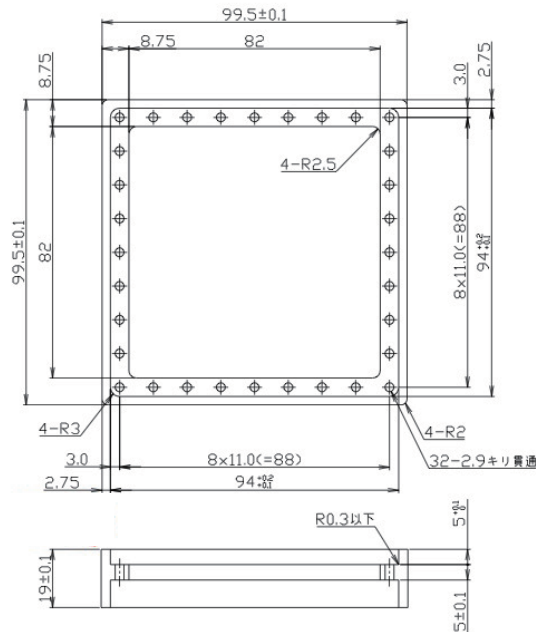


表1) ザグリ深さ

図示記号	ザグリ深さ	穴数
○	0.8±0.1	45ヶ所
◐	1.5±0.1	12ヶ所
◑	1.8±0.1	7ヶ所

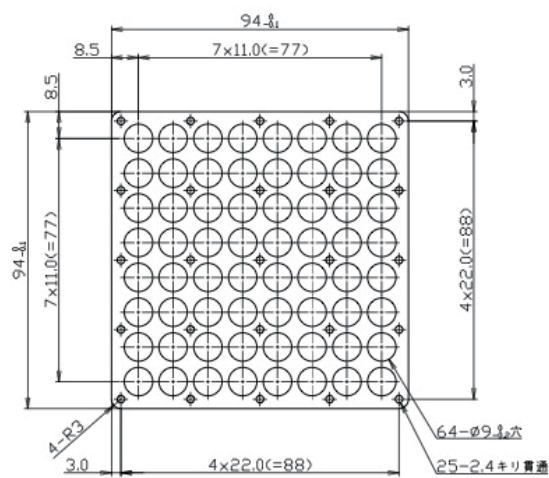
2.2 試料ホルダマウント台

試料ホルダマウント台は、EE64-I, EE64-II とともに、共通設計で下記の通り。試料ホルダーとは、M2.5 のチタン製ねじ 16 個で固定する。



2.3 リン青銅板バネ

リン青銅板バネは、EE64-I, EE64-II とともに、共通設計で下記の通り。リン青銅には、64 個の試料位置に、9mmφ の円形穴があいており、リン青銅板バネが、10mmφ の試料の外周を抑える事で、試料を試料ホルダーに固定する。リン青銅の板バネと試料ホルダーは、M2 のチタン製ねじで 25 カ所で固定される。



±0.1
板バネ
C5191P
表面処理なし

3 表面処理

部分的に表面処理が違ような場合、適用領域の寸法情報も含めてご提示頂きたい。可能であれば表面処理毎の太陽光吸収率 α_s 、輻射率 ϵ をご提示頂きたい。

3.1 曝露面表面の幾何情報

各実験供試体 (EE64-I および EE64-II) の曝露面を構成する物質およびその専有面積を表 1 にまとめる。

表 1: 曝露面の構成

物質名 (材質)	専有面積	α_s	$\epsilon(300K)$
リン青銅 (C5191P)	45.31[cm ²]	0.74	0.22
チタン ^a	2.28[cm ²]	0.8	0.6
アルミ (A5052, 白アルマイト) ^b	10.6[cm ²]	0.96	0.72
各試料 (Si 基板)	0.635[cm ²] \times 26	0.79	0.32
各試料 (SiO ₂ 基板)	0.635[cm ²] \times 20	0.88	0.85
各試料 (Graphite, その他)	0.635[cm ²] \times 18	0.95	0.57

^a: チタン酸化面の公称値を採用

^b: ϵ の値は web の情報から抜粋 (<http://www.mkscience.co.jp/hounetsu.html>)

3.2 放射率 ϵ の測定

近赤外-中間赤外域 (1 μ m–25 μ m) における常温での反射率 $\eta_{ref}(\lambda)$ (入射角は 10deg に設定) および透過率 $\eta_{tra}(\lambda)$ は東京大学天文学教室所有の赤外線フーリエ分光光度計 (IFS125HR/Bruker Optics) を用いて実測した。物質吸収率 $\eta_{abs}(\lambda)$ は

$$\eta_{abs}(\lambda) = 1 - \eta_{ref}(\lambda) - \eta_{tra}(\lambda)$$

として導出し、温度 T における放射率 $\epsilon(T)$ は、

$$\epsilon(T) = \frac{\int_{1.5\mu\text{m}}^{25\mu\text{m}} \eta_{abs}(\lambda) B_{\lambda}(\lambda, T) d\lambda}{\int_{1.5\mu\text{m}}^{25\mu\text{m}} B_{\lambda}(\lambda, T) d\lambda} \quad (1)$$

として計算する。表??に、測定結果得られた放射率の情報をまとめる。また、測定を行った各材質の反射率 $\eta_{ref}(\lambda)$ 、透過率 $\eta_{tra}(\lambda)$ 、吸収率 $\eta_{abs}(\lambda)$ の測定結果を図 1-6 に示す。

表 2: 各材質の輻射率 ϵ

物質名 (材質)	放射率				
	200K	250K	300K	350K	400K
リン青銅	0.212	0.215	0.219	0.224	0.230
Si	0.339	0.329	0.316	0.302	0.228
SiO ₂	0.853	0.856	0.854	0.850	0.839
Graphite(市販品)	0.538	0.556	0.573	0.589	0.603
filmy-QCC(Si 基板)	0.279	0.281	0.274	0.262	0.247
filmy-QCC(SiO ₂ 基板)	0.842	0.835	0.828	0.817	0.802

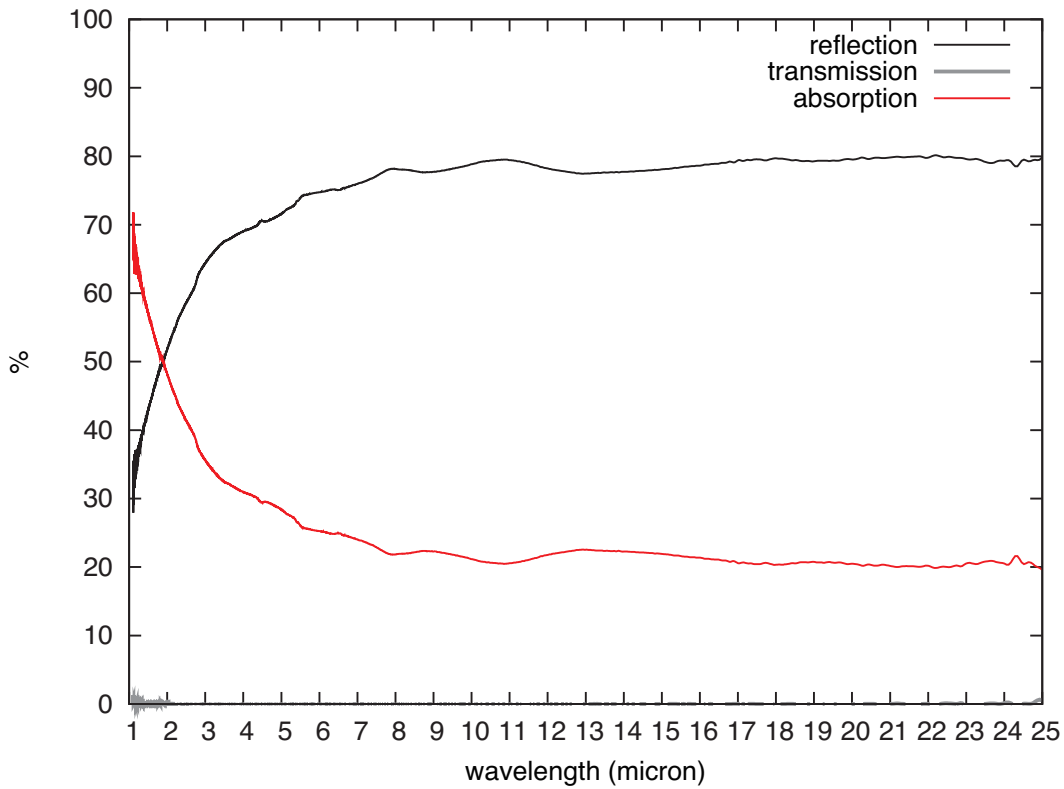


図 1: リン青銅 (PBS, t0.1mm) の透過率 (灰色)、反射率 (黒色)、物質吸収率 (赤色)

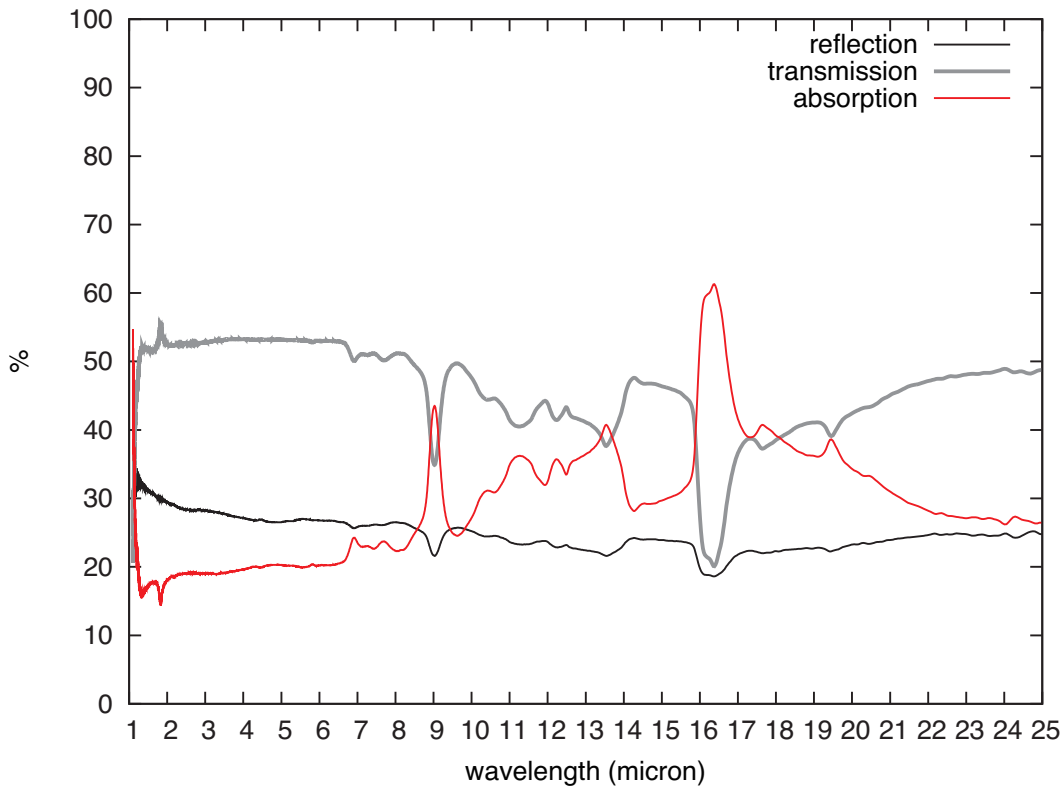


図 2: シリコン基板 (10mmφ, t1mm) の透過率 (灰色)、反射率 (黒色)、物質吸収率 (赤色)

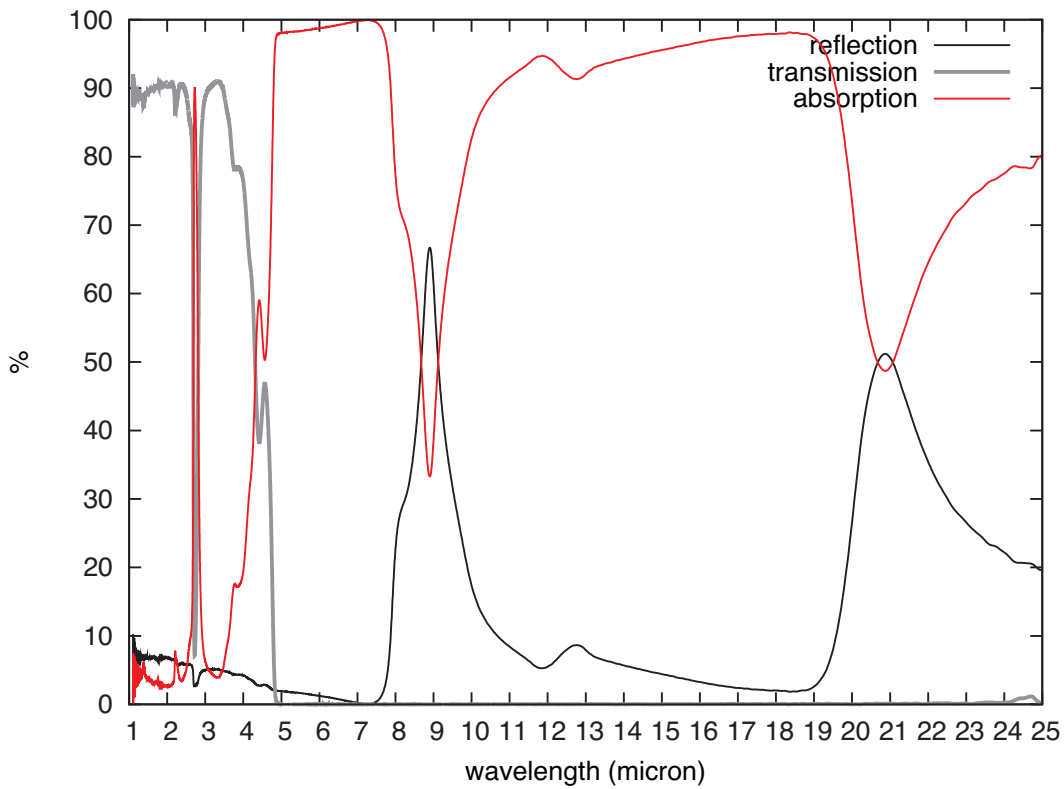


図 3: 合成石英基板 (10mm ϕ , t1mm) の透過率 (灰色)、反射率 (黒色)、物質吸収率 (赤色)

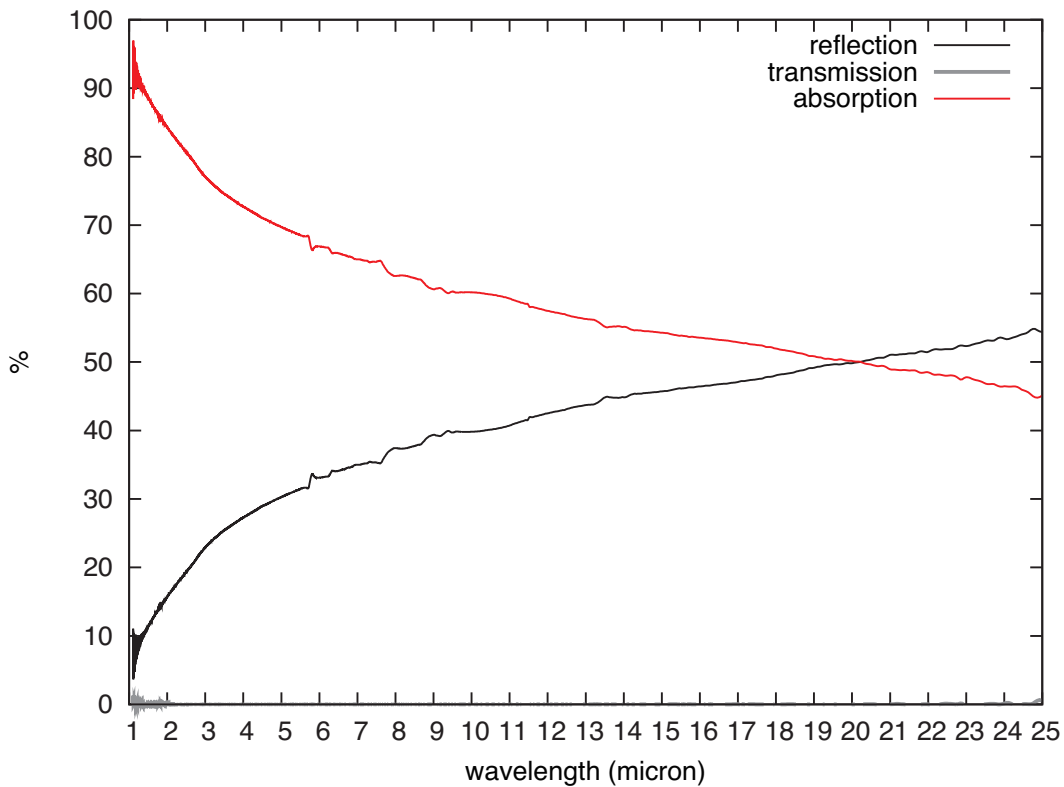


図 4: Graphite(合成市販品, 10mm ϕ , t1mm) の透過率 (灰色)、反射率 (黒色)、物質吸収率 (赤色)

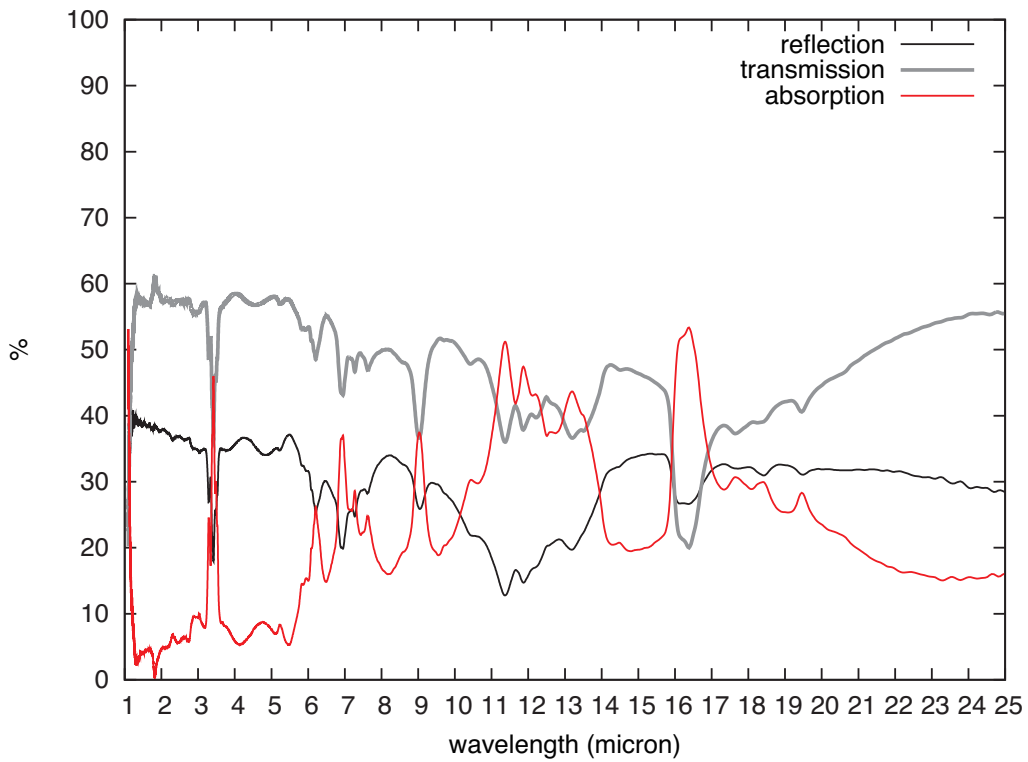


図 5: filmy QCC (シリコン基板上堆積物) の透過率 (灰色)、反射率 (黒色)、物質吸収率 (赤色)

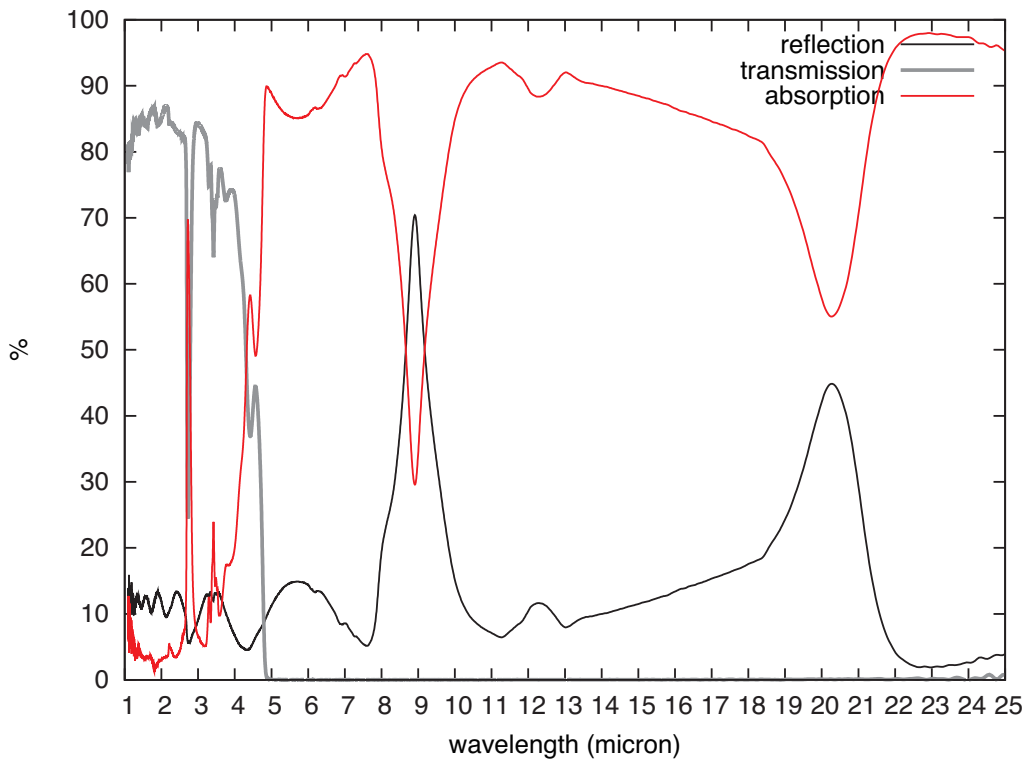


図 6: filmy QCC(合成石英基板上堆積物) の透過率 (灰色)、反射率 (黒色)、物質吸収率 (赤色)

3.3 太陽光吸収率 α_S の測定

紫外線-近赤外域 (190nm—25 μ m) における常温での反射率 $\eta_{\text{ref}}(\lambda)$ (入射角は 30deg に設定) は東京大学天文学教室所有の紫外可視近赤外分光光度計 (V670/日本分光) を用いて実測した。試料表面で反射される光以外は、透過光を含めて試料または試料背面のアルミホルダーで吸収されると想定して、太陽光吸収率 α_S は

$$\alpha_S = \frac{\int_{200\text{nm}}^{2\mu\text{m}} (1 - \eta_{\text{ref}}(\lambda)) F_{\lambda}^{\odot}(\lambda) d\lambda}{\int_{200\text{nm}}^{2\mu\text{m}} F_{\lambda}^{\odot}(\lambda) d\lambda} \quad (2)$$

として計算する。但し、太陽光のスペクトル $F_{\lambda}^{\odot}(\lambda)$ は、文書”Standard Solar Constant and Zero Air Mass Solar Spectral Irradiance Tables” (ASTM_E490-00a(2006).PDF) の Table 4 に示される太陽光の輻射スペクトル情報を用いた。また、吸収率を導出する際に用いた波長域は 200nm から 2 μ m であり、太陽光の放射エネルギーの約 94%がこの波長範囲でカバーされる。表 3 に、測定結果得られた太陽光吸収率の情報をまとめる。

表 3: 太陽光吸収率 α_S

物質名 (材質)	太陽光吸収率 (α_S)
リン青銅	0.74
Si	0.79
SiO2	0.88
Graphite(市販品)	0.95
filmy-QCC(Si 基板)	0.92
filmy-QCC(SiO2 基板)	0.93
A5052(白アルマイト)	0.96

4 重量、熱容量

実験供試体 EE64-I および EE64-II について、構成要素を細分化した上で、各要素の重量、材質、比熱、質量、熱容量を表 4 および表 5 にまとめる。

4.1 実験供試体 EE64-I

表 4: 各構成要素の重量及び熱容量 (EE64-I)

構成要素	材質	比熱 [J/g/K]	単体質量 [g]	個数	総重量 [g]	熱容量 (小計) [J/K]
M2.5 チタンねじ	チタン	0.522	0.211	16	3.4	1.775
M2 チタンねじ	チタン	0.522	0.087	25	2.2	1.148
リン青銅板バネ (t0.1mm)	C5191P	0.377	4.378	1	4.378	1.656
試料ホルダー	A5052	0.901	66.773	1	66.773	60.187
試料ホルダマウント台	A5052	0.901	76.834	1	76.834	69.197
試料 (シリコン基板)	単結晶 Si	0.712	0.20	26	5.6	3.987
試料 (合成石英基板)	合成石英	0.749	0.20	20	4.0	2.996
試料 (その他)	GRA/PE/PS	0.65/2.2/1.3	0.24	18	4.5	2.93~9.90
インジウム	インジウム	0.233	0.10	10	1.0	0.233
計						144.1~151.1

4.2 実験供試体 EE64-II

表 5: 各構成要素の重量および熱容量 (EE64-II)

構成要素	材質	比熱 [J/g/K]	単体質量 [g]	個数	総重量 [g]	熱容量 (小計) [J/K]
M2.5 チタンねじ	チタン	0.522	0.211	16	3.4	1.775
M2 チタンねじ	チタン	0.522	0.087	25	2.2	1.148
リン青銅板バネ (t0.1mm)	C5191P	0.377	4.378	1	4.378	1.656
試料ホルダー	A5052	0.901	65.522	1	65.522	59.015
試料ホルダマウント台	A5052	0.901	76.834	1	76.834	69.197
試料 (シリコン基板)	単結晶 Si	0.712	0.20	26	5.6	3.987
試料 (合成石英基板)	合成石英	0.749	0.20	28	5.6	4.194
試料 (その他)	GRA/PE/PS	0.65/2.2/1.3	0.25	18	4.5	2.93~9.90
インジウム	インジウム	0.233	0.10	10	1.0	0.233
計						144.1~151.2